

01

Феноменологическая модель Рашба для расчета энергетического спектра электрона на цилиндре

© С.С. Савинский, А.В. Белослудцев

Удмуртский государственный университет, Ижевск
E-mail: savinsky@uni.udm.ru

В окончательной редакции 5 декабря 2006 г.

Использовано уравнение Паули с добавочным слагаемым, учитывающим спин-орбитальное взаимодействие электрона, находящегося на поверхности цилиндра. Это слагаемое выбрано в приближении феноменологической модели Рашба. Рассматриваемое приближение позволяет найти точные выражения для волновых функций и спектр электрона на поверхности цилиндра в статическом магнитном поле.

PACS: 73.22.-f

Прогресс в современных нанотехнологиях актуализировал изучение проблемы квантовых состояний электрона в низкоразмерных системах, представляющих собой конечные поверхности, одномерные и точечные структуры. Современное представление о рассматриваемой проблеме можно получить из работ [1–3], в которых обсуждается построение оператора Гамильтона для электрона, движущегося в криволинейном пространстве с учетом спин-орбитального взаимодействия. Общая проблема, имеющая здесь место, связана с анализом потенциала конформейнта, удерживающего электрон в низкоразмерной структуре, которая может представлять собой конечную поверхность, линию либо точку.

Рассмотрим задачу о квантовых состояниях электрона, находящегося на поверхности цилиндра. Если предположить существование локализованных состояний электрона на поверхности цилиндра радиусом R , это может быть достигнуто с помощью узкой цилиндрической потенциальной ямы, сосредоточенной вдоль поверхности, то воспользуемся известным приближением „электрон на цилиндре“. Спектр электрона в рассматриваемом случае (без учета спина) в статическом магнитном

поле, направленном вдоль оси цилиндра, определится из соотношения

$$E_{m,k} = \frac{\hbar^2}{2m_*R^2} \left(m + \frac{\Phi}{\Phi_0} \right)^2 + \frac{\hbar^2 k^2}{2m_*}, \quad (1)$$

здесь m_* — эффективная масса электрона, $\hbar = \frac{h}{2\pi}$ — постоянная Планка, $\Phi = \pi R^2 B$ — поток магнитного поля через сечение трубки, $\Phi_0 = \frac{ch}{|e|}$ — элементарный квант магнитного потока, $m = 0, \pm 1, \pm 2, \dots$ — магнитное квантовое число, $\hbar k$ — продольный импульс электрона. Включение магнитного поля приводит к расщеплению энергетических уровней с заданными магнитными квантовыми числами, уровни с положительными квантовыми числами m поднимаются по энергии, отрицательными — опускаются.

Приближение (1) исходит из предположения о достаточно большой глубине и малой ширине цилиндрической ямы, удерживающей электрон на поверхности, в результате расстояния между уровнями энергии движения электрона в направлении нормали к поверхности велики; мы предполагаем, что электрон по соответствующим квантовым числам находится в нижнем энергетическом состоянии. Недостатком рассмотренного приближения является игнорирование спина электрона, спин может быть учтен с помощью уравнения Паули для электрона на поверхности цилиндра [4]. Однако уравнение Паули не учитывает эффектов, связанных со спин-орбитальным взаимодействием и вращением спина при движении электрона по поверхности, эти добавочные слагаемые к уравнению Паули мы феноменологически учтем с помощью модели Рашба.

В этой модели к гамильтониану „электрон на цилиндре“ добавляется оператор, линейный по матрице Паули и импульсу, представляющий собой смешанное произведение, в которое входит вектор нормали к поверхности цилиндра.

$$V = \gamma \mathbf{n} \cdot [\boldsymbol{\sigma} \times \mathbf{p}], \quad (2)$$

где $\boldsymbol{\sigma}(\sigma_x, \sigma_y, \sigma_z)$ — матрицы Паули, \mathbf{p} — оператор импульса, \mathbf{n} — локальная нормаль к поверхности цилиндра, γ — феноменологическая константа спин-орбитального взаимодействия. Раскрывая смешанное произведение, входящее в формулу (2) на цилиндрической поверхности в локальном базисе, нетрудно получить $\mathbf{n}[\boldsymbol{\sigma} \times \mathbf{P}] = \sigma_z p_\varphi - \sigma_\varphi p_z$, где $p_z = -i\hbar \frac{\partial}{\partial z}$ — оператор импульса вдоль оси цилиндра, $p_\varphi = -i\hbar \frac{1}{R} \frac{\partial}{\partial \varphi}$ — оператор импульса вращательного движения электрона по поверхности

цилиндра, матрица Паули $\sigma_z = \begin{pmatrix} 1 & 0 \\ 0 & -1 \end{pmatrix}$, а матрица σ_φ может быть получена из матриц σ_x и σ_y при помощи формул преобразования вектора из декартовой системы в локальный базис цилиндрической системы координат

$$\begin{aligned} \sigma_\varphi &= -\sigma_x \sin \varphi + \sigma_y \cos \varphi = -\begin{pmatrix} 0 & 1 \\ 1 & 0 \end{pmatrix} \sin \varphi + \begin{pmatrix} 0 & -i \\ i & 0 \end{pmatrix} \cos \varphi \\ &= \begin{pmatrix} 0 & -ie^{-i\varphi} \\ ie^{i\varphi} & 0 \end{pmatrix}. \end{aligned}$$

Соответственно оператор Гамильтона электрона в модели Рашба на поверхности цилиндра примет вид

$$H_0 = \frac{p_z^2 + p_\varphi^2}{2m_*} + \gamma(\sigma_z p_\varphi - \sigma_\varphi p_z). \quad (3)$$

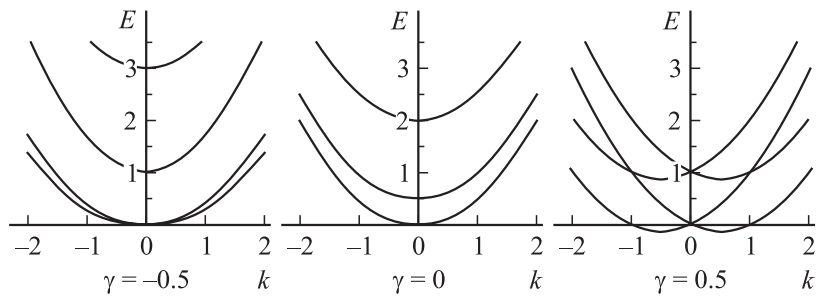
Оператор Гамильтона (3) коммутирует с оператором проекции полного момента импульса на ось Oz $J_z = \frac{\hbar}{2}\sigma_z + L_z$, где $L_z = R p_\varphi$. Из формулы (3) и выражения для оператора J_z нетрудно получить формулу для коммутатора $[H_0, J_z] = \frac{\gamma p_z}{2}(\hbar[\sigma_\varphi, \sigma_z] + 2[\sigma_\varphi, L_z])$ и убедиться в равенстве нулю последнего, так как

$$[\sigma_\varphi, \sigma_z] = 2 \begin{pmatrix} 0 & ie^{-i\varphi} \\ ie^{i\varphi} & 0 \end{pmatrix}, \quad [\sigma_\varphi, L_z] = \hbar \begin{pmatrix} 0 & -ie^{-i\varphi} \\ -ie^{i\varphi} & 0 \end{pmatrix}.$$

В силу коммутации Гамильтона (3) с проекцией оператора полного момента импульса и оператора проекции импульса p_z , собственную функцию (3) будем искать в виде произведения плоской волны, являющейся собственной функцией оператора импульса, и спинора, который есть собственная функция оператора полного момента импульса

$$\psi(z, \varphi) = C e^{ikz} \begin{pmatrix} e^{i(j-1/2)\varphi} f_1 \\ e^{i(j+1/2)\varphi} f_2 \end{pmatrix}, \quad (4)$$

где C, f_1, f_2 — постоянные, определяемые из условия нормировок. Волновая функция (4) периодична по углу φ на цилиндре и собственные значения оператора J_z , равные j , принимают полуцелые значения $\pm 1/2, \pm 3/2, \dots$



Эволюция энергетического спектра электрона в зависимости от значения феноменологической константы спин-орбитального взаимодействия. Графики построены в относительных единицах $m_* = 1, R = 1, \hbar = 1$ для квантовых чисел $j = \pm\frac{1}{2}$ и $\pm\frac{3}{2}$.

Заметим, что спинорная часть волновой функции (4) может быть представлена как суперпозиция двух спинорных состояний, в которых фиксировано направление спина — вдоль либо против заданного направления оси цилиндра. Это обстоятельство связано с тем, что состояние с фиксированным значением полного орбитального момента (4) может быть реализовано неоднозначно, в зависимости от направления спина вдоль оси цилиндра, магнитное квантовое число принимает в этом случае значения, отличающиеся на единицу, в результате кратность вырождения равна двум. Коэффициенты f_1, f_2 в формуле (4) определяют вероятность реализации этих состояний. Подставляя (4) в стационарное уравнение Шредингера с оператором (3), нетрудно получить спектр

$$E = \frac{\hbar}{2m_*R^2} \left(\hbar k^2 R^2 + \hbar j^2 + \frac{\hbar - 4m_*\gamma R}{4} \pm \sqrt{j^2(\hbar - 2m_*\gamma R)^2 + 4k^2 m_*^2 \gamma^2 R^4} \right). \quad (5)$$

На рисунке построен энергетический спектр электрона по формуле (5) для значений квантового числа $j = \pm 1/2, \pm 3/2$ в зависимости от параметра γ . Как следует из рисунка, изменение параметра γ приводит к движению ветвей спектра, относящихся к состояниям с различными значениями квантового числа j .

Включение магнитного поля, направленного вдоль оси трубки, приводит к замене оператора импульса \mathbf{p} на $\mathbf{p} - \frac{e}{c}\mathbf{A}$, где \mathbf{A} — вектор-

ный потенциал, соответственно в цилиндрической системе координат выберем отличную от нуля компоненту векторного потенциала на поверхности цилиндра $A_\varphi = \frac{1}{2}BR$, в результате оператор обобщенного импульса может быть представлен как

$$\mathbf{p} - \frac{e}{c} \mathbf{A} = \mathbf{n}_z p_z + \mathbf{n}_\varphi \left(p_\varphi - \frac{1}{2} \frac{eBR}{c} \right) = -i\hbar \mathbf{n}_z \frac{\partial}{\partial z} + \frac{\hbar}{R} \mathbf{n}_\varphi \left(-i \frac{\partial}{\partial \varphi} + \frac{\Phi}{\Phi_0} \right),$$

где \mathbf{n}_z и \mathbf{n}_φ — единичные векторы локального базиса на поверхности цилиндра. Оператор Гамильтона в модели Рашба (3) с учетом магнитного поля, направленного вдоль оси трубки, принимает вид

$$H_0 = \frac{p_z^2 + \left(p_\varphi - \frac{eR}{2c} B \right)^2}{2m_*} + \frac{1}{2} \mu g B \sigma_z + \gamma \left(\sigma_z \left(p_\varphi - \frac{eR}{2c} B \right) - \sigma_\varphi p_z \right), \quad (6)$$

где $\mu = \mu_B \frac{m_0}{m_*}$, m_0 — масса свободного электрона, $\mu_B = \frac{|e|\hbar}{2m_0c}$ — магнетон Бора, c — скорость света, g — эффективный фактор. Второе слагаемое в правой части уравнения (6) является следствием уранения Паули для электрона в магнитном поле, записанном в цилиндрических координатах. В предположении идеальности цилиндрической поверхности соответствующий эффективный фактор нужно положить равным 2, если цилиндрическая поверхность сформирована из вещества, то фактор g произвольный [5]. Оператор полного момента импульса электрона в магнитном поле может быть записан в следующем виде:

$$J_z = \frac{\hbar}{2} \sigma_z + L_z = \frac{\hbar}{2} \sigma_z + R \left(p_\varphi - \frac{eR}{2c} B \right),$$

его собственные значения равны $j_* = j + \frac{\Phi}{\Phi_0}$. Волновая функция (4) при соответствующей замене j на j_* является собственной функцией оператора (6), соответственно электронный спектр определится из формулы

$$E = \frac{1}{2m_* R^2} \left[\hbar^2 k^2 R^2 + \hbar^2 j_*^2 + \frac{\hbar^2}{4} - \hbar \gamma R m_* \pm \sqrt{(\hbar^2 j_* - \mu g m_* R^2 B)^2 + 4\hbar^2 \gamma^2 m_*^2 R^2 (k^2 R^2 + j_*^2) - 4\hbar \gamma m_* R j_* (\hbar^2 j_* - m_* R^2 \mu g B)} \right]. \quad (7)$$

Включение магнитного поля приводит за счет второго и третьего слагаемых в (6) к расщеплению и сложной эволюции спектра.

Рассмотренная модель электрона на поверхности цилиндра может оказаться полезной для анализа электронных свойств однослойных углеродных нанотрубок малого радиуса, в которых необходимо учитывать влияние кривизны трубки на параметры спектра, связанные со спин-орбитальным взаимодействием [3]. В литературе для теоретического исследования электронных свойств нанотрубок используется феноменологическая модель [6], получаемая из приближения сильной связи.

Список литературы

- [1] *Магарилл Л.И., Чаплик А.В., Этин М.В.* // УФН. 2006. Т. 175. № 9. С. 995–1000.
- [2] *Романенко А.Н., Окотруб А.В., Кузнецов В.Л., Котосонов А.С., Образцов А.Н.* // УФН. 2006. Т. 175. № 9. С. 1000–1004.
- [3] *Белов В.В., Доброхотов С.Ю., Маслов В.П., Тудоровский Т.Я.* // УФН. 2006. Т. 175. № 9. С. 1004–1010.
- [4] *Фок В.А.* Начала квантовой механики. М.: Наука, 1976.
- [5] *Бир Г.Л., Пикус Г.Е.* Симметрия и деформационные эффекты в полупроводниках. М.: Наука, Гл. редакция физико-математической литературы, 1972.
- [6] *Dresselhaus M.S., Dresselhaus G., Eklund P.C.* Science of Fullerenes and Carbon Nanotubes. N.Y.: Academic Press, 1996.